

# 基于 ROS 系统的移动扫地机器人

## 一、选题背景

扫地机器人凭借着全自主地移动清扫功能，在近几年大受欢迎。

基于 ROS 系统的扫地机器人项目需要达成如下目标：（1）自主建图；（2）路径规划；（3）按照规划路径自主导航

## 二、方案论证(设计理念)

我们小组使用的是 Noetic 版本的 ROS 系统。首先我们确定了扫地机器人的运动方式和传感器。其外形大致为一扁平圆柱体，有两个驱动轮和两个牛眼轮，运动方式为两轮差速运动，所带传感器为 2D 激光雷达和电机里程计。

根据扫地机器人的自主建图需求，我们采用的是 `explore_lite` 算法。这是一种基于边界的探索，机器人会贪婪地探索环境直到找不到边界，而且该算法不会创建自己的成本图，效率相对较高，这十分适合封闭的室内环境和扫地机器人较有限的算力。

在扫地机器人得到全局地图后，还需要做全覆盖的路径规划，路径规划部分我们是基于当前点分别考虑下一点的坐标和方向，不断迭代得到整体路径。

最后对于扫地机器人的自主导航，我们通过设定一距离阈值，当扫地机器人进入该范围后便发布下一目标点，再通过全局地图、自身定位、路径规划和运动控制使机器人向目标点移动。

## 三、过程论述

### 3.1 结构建模

首先对于扫地机器人的建模我们使用 `xacro` 集成 `urdf` 并分模块编写的方式建立机器人模型，如图 3.1.1。



图 3.1.1 扫地机器人模型

之后对于环境的建模，我们直接在 Gazebo 中通过图形化界面建立了一个环境，如图 3.1.2。

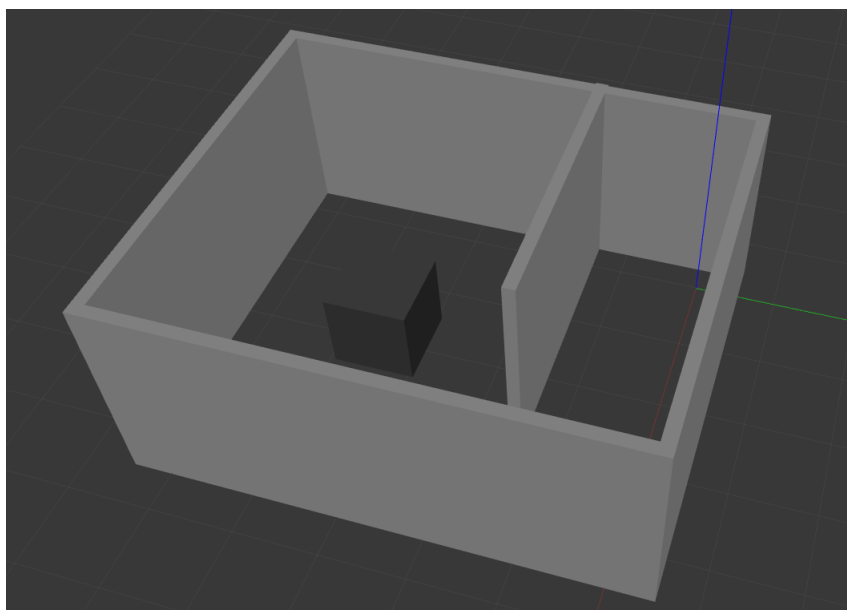


图 3.1.2 环境建模

### 3.2 自主建图

该部分我们直接使用使用的是 `explore_lite` 算法。其为基于边界的探索，当节点运行时，机器人会贪婪地探索环境直到找不到边界。与类似的包不同，`explore_lite` 不会创建自己的代价图，这使得配置更容易且更高效(资源更少)。节点只是订阅 `nav_msgs/OccupancyGrid` 消息。机器人移动的命令被发送到 `move_base` 节点。节点可以进行边界过滤，甚至可以在非膨胀地图上运行。目标黑名单允许处理机器人无法进入的地方。该算法运行时的节点间关系如图 3.2.1 所示。

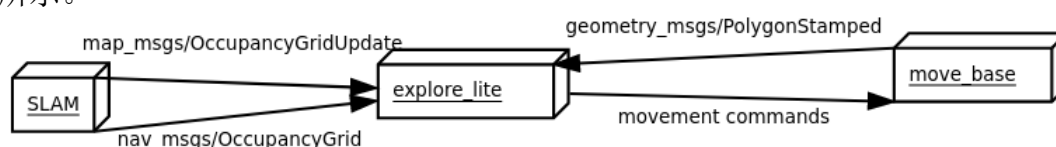


图 3.2.1 `explore_lite` 运行时节点关系图

### 3.3 路径规划及自主导航

由 3.2 我们能得到环境的栅格地图，但是栅格地图的分辨率是 5cm，而我们的扫地机器人的半径是 10cm，若直接规划路径稍显不合理。故我们考虑先按 3\*3 的大小合并栅格，这样意味着新地图的分辨率是 15cm，即扫地机器人能扫过的宽度为 15cm，更加合理。在合并栅格时，考虑到栅格地图为 .pgm 格式，本质为一张图片，故我们使用 OpenCV 来进行合并和后续路径规划的任务。

在合并栅格时应注意在原栅格地图中原点在左下角而在 `Mat` 类型中原点在左上角。同时要注意的是我们应设置图片类型为 `CV_32F`，以免影响后续算法精度。此外，我们规定若原 9 个栅格中都没有障碍，新栅格才设为没有障碍。

在得到新“栅格地图”后，我们选定机器人初始化的坐标所在栅格为起始栅

格，机器人初始化的方向为起始方向，并规定两个路径点间的角度只能为  $0^\circ$ ， $45^\circ$ ， $90^\circ$ ， $135^\circ$ ， $180^\circ$ ， $215^\circ$ ， $270^\circ$  或  $315^\circ$ 。现在我们规定第  $i$  行第  $j$  列的栅格权值表达为  $V_{i,j}$ ，若该栅格无障碍，权值为  $V_0$ ；若该栅格有障碍，权值为  $V_1$ ，再规定该栅格角度为  $A_{i,j}$ 。之后我们基于当前栅格和方向进行下一栅格的角度决策，对于  $0^\circ$ ，我们计算：

$$V_0 = V_{i,j+1} + C \cdot (1 - F(|A_{i,j} - 0^\circ|)/180^\circ)$$

对于  $45^\circ$ ，我们计算：

$$V_{45} = V_{i-1,j+1} + C \cdot (1 - F(|A_{i,j} - 45^\circ|)/180^\circ) - K$$

对于  $90^\circ$ ，我们计算：

$$V_{90} = V_{i-1,j} + C \cdot (1 - F(|A_{i,j} - 90^\circ|)/180^\circ)$$

对于  $135^\circ$ ，我们计算：

$$V_{135} = V_{i-1,j-1} + C \cdot (1 - F(|A_{i,j} - 135^\circ|)/180^\circ) - K$$

对于  $180^\circ$ ，我们计算：

$$V_{180} = V_{i,j-1} + C \cdot (1 - F(|A_{i,j} - 180^\circ|)/180^\circ)$$

对于  $215^\circ$ ，我们计算：

$$V_{215} = V_{i+1,j-1} + C \cdot (1 - F(|A_{i,j} - 215^\circ|)/180^\circ) - K$$

对于  $270^\circ$ ，我们计算：

$$V_{270} = V_{i+1,j} + C \cdot (1 - F(|A_{i,j} - 270^\circ|)/180^\circ)$$

对于  $315^\circ$ ，我们计算：

$$V_{315} = V_{i+1,j+1} + C \cdot (1 - F(|A_{i,j} - 315^\circ|)/180^\circ) - K$$

其中我们取  $V_0=50$ ， $V_1=-100000$ ， $C=50$ ， $K=200$ ，且有：

$$F = \begin{cases} X, & (0 \leq X \leq 180) \\ 360 - X, & (180 < X \leq 360) \end{cases}$$

通过以上计算，我们取计算结果最大的那个角度作为下一个栅格角度。

再考虑下一个点的坐标，我们取距离当前栅格最近的那个栅格作为下一栅格。这样如此往复，我们就能得到全局的扫地路径，一种示例如图 3.3.1 所示。

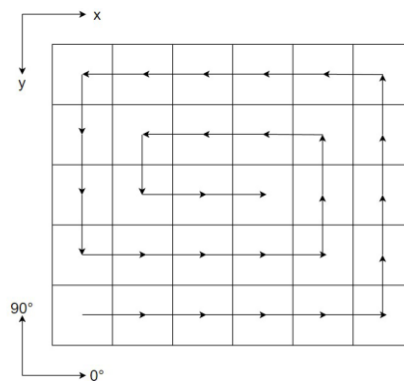


图 3.3.1 扫地路径的一种示例

得到了路径点后我们要按顺序发布出去，这里我们判断机器人在当前目标点一定范围内便发布下一目标点。

3.3 的节点拓扑如图 3.3.2 所示：

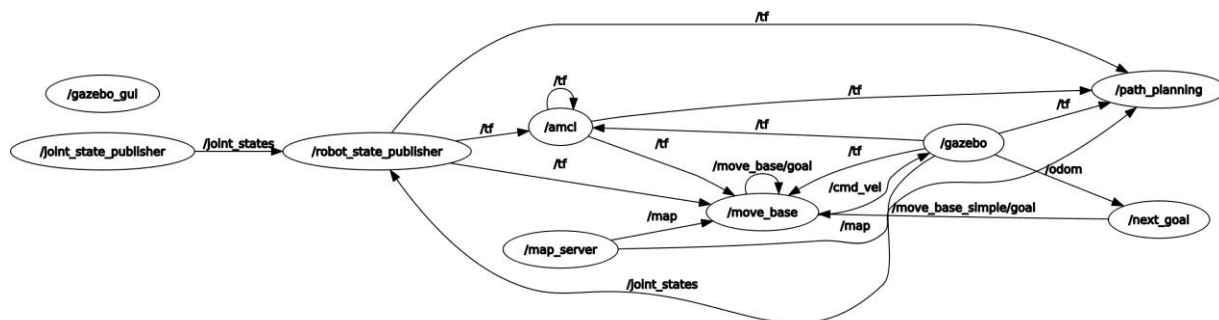


图 3.3.2 节点拓扑图

## 四、结果分析

通过上述过程，我们成功在 Gazebo 中进行了仿真，仿真效果见：

[https://www.bilibili.com/video/BV1Fe4l1l7gR?vd\\_source=e67cc43f2e8443b722a5f50ef79db03e](https://www.bilibili.com/video/BV1Fe4l1l7gR?vd_source=e67cc43f2e8443b722a5f50ef79db03e)。

本扫地机器人代码见：<https://github.com/scybd/Sweeping-Robot>。

## 五、创新实践总结

在本次创新实践中，我接触并学习了 ROS、Gazebo、OpenCV 和 C++等知识，对 ROS 中的各功能包有了一定了解，对机器人的仿真有了更深刻的认识。